

بررسی اثر رولپیرام بر فعالیت پایه نورونهای هسته پارازیگانتوسلولاریس و رفتارهای سندروم محرومیت در موشهای صحرایی وابسته به مورفین

حسین عزیزی^{*}، سعید سمنانیان^{*}، یعقوب فتح‌الهی^{*}، فیروز قادری‌پاکدل^{*}، حسن اژدری زرمه‌ی^{*}، کامبیز رهام‌پور^{*}، M.Sc.

دانشگاه تربیت مدرس، دانشکده پزشکی، گروه فیزیولوژی

آدرس مکاتبه: تهران، صندوق پستی: ۱۱۱-۴۱۱۵، دانشگاه تربیت مدرس، گروه فیزیولوژی

E-mail: ssemnan@modarres.ac.ir

چکیده

درباره مقاله: ۸۳/۱۲/۰۳، پذیرش مقاله: ۸۳/۰۳/۱۶

* هدف: بررسی اثر رولپیرام، به عنوان مهارکننده اختصاصی فسفودی استراز نوع ۴ درون‌هسته‌ای، بر فعالیت خود به خودی نورونهای هسته پارازیگانتوسلولاریس (PGI: Paragigantocellularis) و القای علایم رفتاری سندروم محرومیت در موشهای وابسته به مورفین

* مواد و روش‌ها: از ثبت تک واحدی خارج سلولی برای ثبت فعالیت خود به خودی نورونهای هسته PGI در موشهای نر، NMRI، وزن ۲۵۰ تا ۳۵۰ گرم که با پورتان بیهوده بودند، استفاده شد. رولپیرام (۱۰ و ۱۰ میکرومول) در داخل هسته PGI ریز تزریق (microinjection) شد. در بخشی دیگر برای بررسی علایم سندروم محرومیت، با ریز تزریق ۱۰ میکرومول رولپیرام داخل هسته PGI رفتارهای موش را مورد مطالعه قرار دادیم.

* یافته‌ها: تزریق ۱۰ و ۱۰ میکرومول رولپیرام در موشهای کترول تغییر معنی داری در فعالیت پایه نورونهای هسته PGI ایجاد نکرد. در حالی که تزریق رولپیرام با غلظت ۱۰ میکرومول در موشهای کترول سبب افزایش معنی دار و در موشهای وابسته به مورفین باعث کاهش معنی داری در فعالیت پایه نورونهای هسته PGI گردید. تزریق ۱۰ میکرومول رولپیرام در موشهای کترول با حرکت آزاد باعث بروز جویدن و دندان قروچه و در موشهای وابسته به مورفین ازال و به خود پیچیدن شد. در موشهای وابسته به مورفین تزریق ۱۰ میکرومول رولپیرام داخل هسته PGI قبل از تزریق زیر جلدی نالوکسان سبب ظاهر نشدن علایم بی‌قراری، لرزش، پریدن و افتادگی پلکها و کاهش علایم دندان قروچه و به خود پیچیدن شد.

* نتیجه گیری: به نظر می‌رسد تغییر سازشی فعالیت مسیر cAMP در نورونهای هسته PGI به دنبال مصرف طولانی مدت مورفین، نقش مهمی در وابستگی به مورفین دارد.

گل واژگان: هسته پارازیگانتوسلولاریس، رولپیرام، ثبت تک واحدی خارج سلولی، مورفین

نشریه پژوهشی یاخته، سال هفتم، بهار ۸۴، شماره ۲۵، صفحات ۴۲-۳۵

مقدمه

فسفو دی استرازها خانواده بزرگ از آنزیمهایی هستند که cGMP: Cyclic guanosine monophosphate و cAMP را هیدرولیز می‌کنند. آنها بر اساس چگونگی تنظیم نوع سویسترا به ۱۱ خانواده بجزا تقسیم‌بندی شده‌اند. دو خانواده از آنها یعنی نوع ۴ و نوع ۷ از cAMP به عنوان سویستراتی اختصاصی استفاده می‌کنند. فسفو دی استراز نوع ۴، آنزیم اصلی است که cAMP را در مغز پستانداران هیدرولیز می‌کند و یک نقش کلیدی در تنظیم مقدار cAMP نورونی ایفا می‌کند. رولپیرام با مهار فسفو دی استراز نوع ۴ سبب جلوگیری از هیدرولیز cAMP در محیط شده و غلظت آن را بالا می‌برد (۱۰، ۱۱، ۱۲، ۱۳). مدارکی دال بر نقش نورونهای PGI در بیان علایم سندروم محرومیت اتونومیک و فیزیکی ناشی از وابستگی به اپیوییدها وجود دارد (۱۴، ۱۵، ۱۶، ۱۷). Aghajanian و Rasmussen نموده‌اند که علایم محرومیت اپیوییدی موضعی در هسته LC با تحریب هسته PGI کاهش می‌یابد و برای اولین بار به نقش هسته PGI در ایجاد تحمل و وابستگی به مورفین پی بردن (۱۴).

مدتها بعد Li+ و همکاران نشان دادند که می‌توان با تحریک

اگرچه اپیوییدها به طور موثر در تسکین درد مفیدند، اما شدیداً اعتیاد آورند. با تجویز مکرر داروهای اپیوییدی، مکانیسمهای سازشی آغاز می‌گردد که منجر به تغییرات کوتاه مدت و ماندگار در عملکرد نورونها و شبکه‌های عصبی حساس به اپیوییدها می‌گردد. از چنین مکانیسمهایی می‌توان به ایجاد تحمل، وابستگی و حساس شدن اشاره کرد (۱). اثرات سلولی و مولکولی اپیوییدها در فهم حواله‌ای که منجر به تحمل (Tolerance) و وابستگی Dependence) می‌شوند، مهم هستند (۱). یکی از رایج ترین مکانیسمهای مولکولی ثابت شده در اعتیاد، تغییرات افزایشی (Up-Regulation Changes) در مسیر هدایت سلولی cAMP: Cyclic Adenosine Monophosphate در سلولهای عصبی برخی هسته‌های مغزی از قبیل هسته آکومبنس (۲)، تگمنتوم شکمی (۴)، هسته راه پشتی (۵)، ماده خاکستری قنات صدری (۶، ۷) و هسته آبی (L. C.) (۸) به دنبال استفاده مکرر از اپیوییدها به وجود می‌آید.

دادند (۱۹).

روش آماده کردن روپلیرام جهت تزریق
ابتدا روپلیرام با حداکثر غلاظت در میلی لیتر. سپس در روز آزمایش این محلول با میکرومول (ACSF: Artificial cerebrospinal fluid) (DMSO: Dimethyl sulfoxide) حل شد (۳ میلی گرم بر دوزهای ۰/۱، ۱ و ۱۰ میکرومول به دست آید. غلاظت DMSO نهایی در این دوزها به ترتیب ۰/۰۰۰۳، ۰/۰۰۳ و ۰/۰۳ درصد بود.

آماده کردن میکرولکترود

دو میکرولکترود شیشه‌ای کنار هم قرار داده می‌شد و با کشندۀ میکرولکترود طوری کشیده می‌شدند که یک نوک با دو مجرای جداگانه برای تزریق فراهم شود، سپس میکرولکترود فلزی به منظور ثبت در شیار بین آن دو جیبانده شد به طوری که نوک آن حدود ۲۰۰-۳۰۰ میکرومتر جلوتر از نوک لکترود تزریق باشد. لکترودهای تزریق توسط لوله پلی‌اتیلن به سرنگ هامیلتون متصل شدند. از یک مجرأ برای تزریق حلال دارو و از مجرای دیگر برای تزریق دارو استفاده شد.

جراحی و ثبت الکتروفیزیولوژیک

موشها بعد از توزین با تزریق یورتان به صورت داخل صفاقی (۱/۲ گرم بر کیلوگرم، آپیوپرکسیک) ببهوش شدند. ابتدا نای تشریح شده و درون آن کانول مناسبی کار گذاشته شد تا در طول جراحی و ثبت الکتروفیزیولوژیک حیوان به طور طبیعی تنفس نماید. در طول آزمایش سطح بیهوشی کنترل شده و در صورت نیاز دوزهای تکمیلی از داروی بیهوشی تزریق می‌شد. موشها در استریوتاکسی قرار گرفته و محل ورود لکترود ثبت با استفاده از اطلس پاکسینوس تعیین می‌گردید (فاصله از بریگما ۱۱۹۶-۱۱۹۷ از خط وسط ۱/۶ و عمق از سخت شامه ۹ میلی متر). سپس با مته دندانپزشکی سوراخ مناسبی بدون آسیب به سخت شامه ایجاد می‌شد و لکترود آماده وارد مغز می‌شد. بعد از پایدار شدن فعالیت نورون، ثبت به مدت ۲۰ دقیقه صورت می‌گرفت. بعد از تزریق حلال دارو، ثبت به مدت ۱۵ دقیقه دیگر ادامه می‌یافت، سپس دارو در کنار نورون تزریق می‌شد. تغییر فعالیت نورون به عنوان اثر دارو مدنظر بود و تا برگشت فعالیت نورون به حالت پایدار ثبت ادامه پیدا می‌کرد. تجزیه و تحلیل داده‌ها در روش ثبت تک واحدی به صورت Off-line صورت می‌گرفت. داده‌های خروجی برنامه، تعداد اسپایک در مدت ۰/۵ ثانیه بود، همچنین فواصل اسپایکها را به دست می‌آورد. فایل مذکور حاوی اطلاعات اولیه (PSTH: Peristimulus Time Histogram) و حاوی اطلاعات اولیه (ISIH: InterSpike Interval Histogram) مربوط به آزمایش بود، سپس میانگین فعالیت در یک دقیقه و دقایق متولی محاسبه می‌گشت (۲۳). بعد از هر آزمایش با توجه به نشانه گذاری محل ثبت به وسیله Pontamine Sky Blue، به ترتیب سالین نرمال و فرمالین

الکتریکی هسته PGi در موش‌های غیروابسته به مورفين رفتارهایی شبیه رفتارهای مشاهده شده طی محرومیت ناشی از تزریق نالوکسان را مشاهده کرد که این رفتارها تا حدود ۳۰ دقیقه بعد از تحریک PGi نیز باقی می‌مانند (۱۸).

اُذری و همکاران در مطالعات خود نشان دادند پاسخ‌دهی نورونهای هسته پارازیگانتوسلولاریس به فورسکولین (فعال‌کننده آدنیلات سیکلаз) در موش صحرایی وابسته به مورفين نسبت به گروه کنترل متفاوت است. آنها احتمال دادند که تغییر سازشی فعالیت مسیر cAMP در نورونهای هسته PGi به دنبال مصرف طولانی مدت مورفين، می‌تواند در تحمل و وابستگی به مورفين نقش داشته باشد (۱۹).

با توجه به اینکه افزایش حساسیت آدنیلات سیکلاز به دنبال استفاده مکرر از اپیوپرکسیک‌ها گزارش شده است (۲۰، ۲۱)، معلوم نیست این تغییر سازشی فعالیت مسیر cAMP در نورونهای هسته PGi ناشی از افزایش حساسیت (supersensitization) آدنیلات سیکلاز است یا تغییر سازشی در بقیه مسیر cAMP اتفاق افتاده است. برای این منظور در مطالعه حاضر افزایش میزان cAMP با مهارکننده اختصاصی فسفو دی استراز نوع ۴، روپلیرام (rolipram)، در گروه موهشی سالم و وابسته به مورفين و پاسخ‌دهی نورونهای هسته PGi بررسی شده است.

مواد و روشها

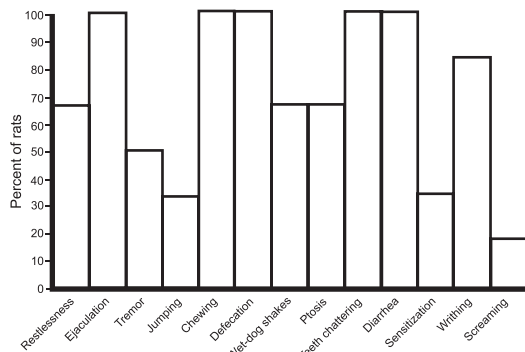
حیوانات آزمایشگاهی

در این پژوهش از ۳۶ سر موش صحرایی سفید نر، نژاد NMRI در محدوده وزنی ۲۵۰ تا ۳۵۰ گرم که از انسیتوبرازی تهیه شده بود، استفاده گردید. اتاق نگهداری دارای سیکل روشنایی (تاریکی ۱۲ ساعته (شروع روشنایی ساعت ۸ صبح) با دمای ۲۲±۳ درجه سانتی گراد بود. تمام آزمایشها در روز انجام شده و آب و غذای کافی برای حیوانات غیروابسته به صورت آزاد وجود داشت.

در گروه حیوانات تحت ایجاد وابستگی، محلول حاوی مورفين و غذا به طور آزاد در اختیار حیوانات قرار داده شد. انتخاب موهشها برای آزمایشها به صورت تصادفی ساده بود. هر موش فقط یک بار مورد آزمایشگاهی از گرفت و تلاش شد تا شرایط نگهداری و محیط قفسه‌ها مطابق شرایط اعلام شده در قوانین حمایت از حیوانات آزمایشگاهی باشد.

ایجاد وابستگی به مورفين به وسیله آب آشامیدنی
وابستگی به مورفين، با اضافه کردن مورفين به آب خوراکی ایجاد شد. برای آزمایش شیوع وابستگی در موشها با تزریق زیرجلدی نالوکسان (۳ میلی گرم بر کیلوگرم)، سندروم محرومیت در آنها القا گردید. پس از تزریق نالوکسان، موهشها وارد مرحله سندروم محرومیت شده و علایم محرومیت را نشان

ثانیه، پس از تزریق حلال فعالیت آنها $10/38 \pm 3/18$ اسپایک در ثانیه و بعد از تزریق رولیپرام ۱ میکرومول به $10/56 \pm 3/28$ اسپایک در ثانیه رسید.



نمودار ۱: درصد مشاهده شده علائم رفتاری محرومیت از مورفین در موشهای گروه وابسته به مورفین طی ۶۰ دقیقه پس از ایجاد محرومیت ناشی از تزریق نالوکسان ($n=6$)

نمودار سه (A) مشخص می‌نماید که در موشهای غیر وابسته به مورفین تزریق داخل هسته‌ای حلال باعث تغییر معنی دار فعالیت نورونهای هسته PGI نگردیده است، ولی دوز 10 میکرومول رولیپرام سبب افزایش معنی دار فعالیت نورونهای هسته PGI شده است ($P<0/05$). مقایسه آماری میانگین فعالیت نورونها ($n=7$) نشان می‌دهد که نورونهای هسته PGI قبل از تزریق حلال دارای فعالیت پایه $19/16 \pm 4/4$ اسپایک در ثانیه، پس از تزریق حلال $10/03$ درصد (DMSO+ACSF) فعالیت آنها $18/51 \pm 4/0$ اسپایک در ثانیه و بعد از تزریق رولیپرام 10 میکرومول اسپایک در ثانیه رسید. اثر دارو از $6/3$ دقیقه بعد به مقدار $21/07 \pm 4/6$ اسپایک در ثانیه رسید. اثر دارو از $5/6$ دقیقه ادامه داشت. بعد از گذشت $11/9$ دقیقه از تزریق دارو به سطح فعالیت قبل از تزریق بازگشت.

بررسی تزریق داخل هسته‌ای 10 میکرومول رولیپرام بر فعالیت پایه نورونهای هسته PGI در موشهای وابسته به مورفین

همچنان که در نتایج نشان داده شده نمودار سه (B) مشخص می‌گردد که در موشهای وابسته به مورفین تزریق داخل هسته‌ای حلال $10/03$ درصد (DMSO+ACSF) باعث تغییر معنی دار فعالیت نورونهای هسته PGI نشده ولی دوز 10 میکرومول رولیپرام سبب کاهش معنی دار فعالیت نورونهای هسته PGI شده است ($P<0/05$). مقایسه آماری میانگین فعالیت نورونها ($n=6$) نشان می‌دهد که نورونهای هسته PGI قبل از تزریق حلال دارای فعالیت پایه $19/17 \pm 4/1$ اسپایک در ثانیه، پس از تزریق حلال فعالیت آنها $18/81 \pm 4/1$ اسپایک در ثانیه، پس از تزریق رولیپرام فعالیت آنها $10/71 \pm 3/25$ اسپایک در

فسفات 10 درصد از طریق قلب تزریق می‌شدند. به دنبال آن مغز حیوان از جمجمه خارج شده و در محلول فرمالین فسفات تا مرحله برش گیری نگهداری می‌شد.

روش ارزیابی علائم رفتاری بعد از تزریق داخل هسته‌ای رولیپرام

برای تزریق داروی رولیپرام، حیوان پس از بیهوشی در دستگاه استریوتاکسی قرار می‌گرفت، کانولهای تزریق و راهنمای در هسته پارازیگانتوسلولاریس تعییه شد. بعد از تمام جراحی حیوان دوره بهبودی را طی می‌کرد و پس از دوره بهبودی، ماده مزبور به درون هسته PGI در موش که آزادانه حرکت می‌کرد تزریق شد. برای هر حیوان در این قسمت رفتارهای مشاهده شده سندروم محرومیت ناشی از تزریق درون هسته‌ای رولیپرام شمارش و تغییر رفتارها نسبت به گروههای کنترل ارزیابی شد.

تجزیه و تحلیل آماری

نتایج به دست آمده از داده‌ها در برنامه آماری GB-stat مورد تجزیه و تحلیل قرار گرفته و بین داده‌ها تست‌های t-test و One-way ANOVA و One-way ANOVA with Tukey's protected t-test انجام شد.

یافته‌ها

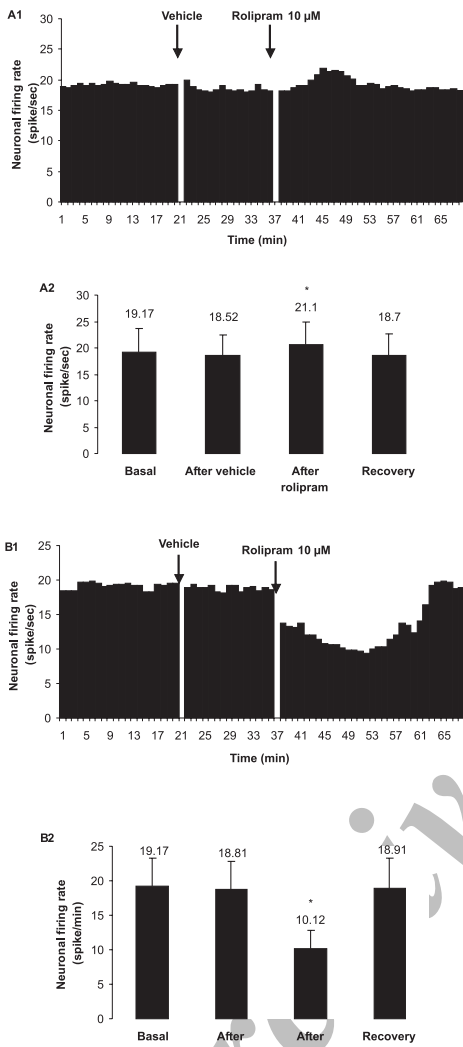
ارزیابی علائم رفتاری سندروم محرومیت ناشی از تزریق نالوکسان در گروههای مختلف موشهای مورد آزمایش همچنان که از نتایج حاصل از نمودار یک استنتاج می‌شود موشهای تحت تیمار مورفین با تزریق نالوکسان علائم محرومیت از مورفین را نشان می‌دهند در حالی که تزریق نالوکسان در موشهای گروه غیروابسته به مورفین تغییر رفتاری ایجاد نمی‌کرد.

اثر تزریق رولیپرام ($10/1$ و 10 میکرومول) بر فعالیت پایه نورونهای هسته PGI در گروه غیروابسته به مورفین

همان طور که از نتایج نمایش داده شده در نمودار دو استنتاج می‌شود در موشهای غیر وابسته به مورفین تزریق داخل هسته‌ای حلال ($10/0003$ درصد DMSO+ACSF) و غلظت $10/1$ و 10 میکرومول رولیپرام باعث تغییر معنی دار فعالیت نورونهای هسته PGI نشد ($P>0/05$).

نمودار دو (A)، مقایسه آماری میانگین فعالیت نورونها ($n=5$) نشان می‌دهد که نورونهای هسته PGI قبل از تزریق حلال دارای فعالیت پایه معادل $10/52 \pm 22/6$ اسپایک در ثانیه، پس از تزریق حلال فعالیت آنها $10/49 \pm 22/12$ اسپایک در ثانیه و بعد از تزریق رولیپرام $10/0$ میکرومول به $10/49 \pm 21/99$ اسپایک در ثانیه رسید و در شکل دو (B) نورونهای هسته PGI قبل از تزریق حلال دارای فعالیت پایه $10/71 \pm 3/25$ اسپایک در

($P < 0.005$). همچنین میانگین درصد تغییرات پاسخ در گروه غیروابسته به مورفین $47/2 \pm 3/7$ افزایش و در گروه وابسته به مورفین $47/2 \pm 5/6$ کاهش یافت که اختلاف معنی داری با هم دارند ($P < 0.005$).

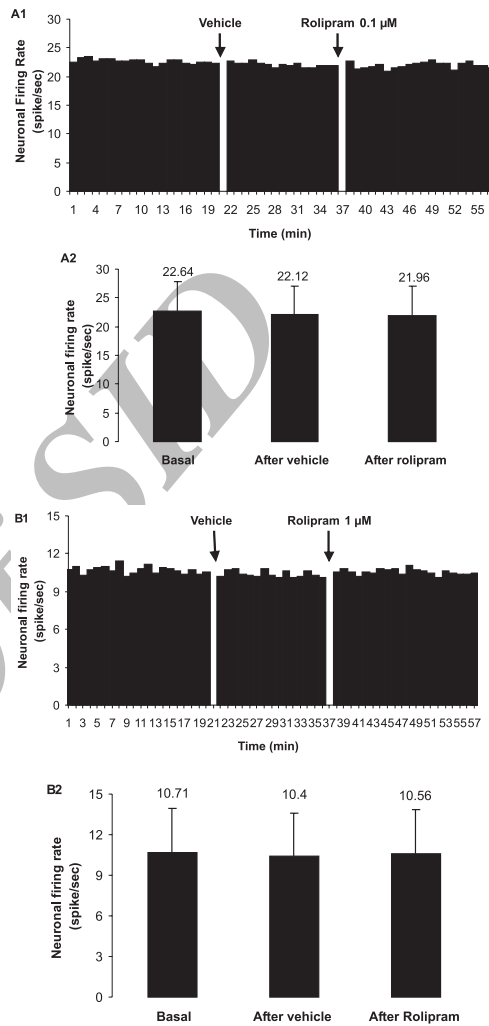


نمودار ۳: اثر تزریق داخل هسته‌ای $10\text{-}\mu\text{M}$ رولیپرام روی فعالیت پایه نورونهای هسته PGi در موشهای غیروابسته (A) و غیروابسته (B) به مورفین A1: نمودار میانگین PSTH فعالیت نورونهای هسته PGi قبل از تزریق حلال (DMSO+ACSF) درصد (DMSO+ACSF)، بعد از تزریق حلال، بعد از تزریق دارو و دوره بازگشت به حالت پایه. A2: مقایسه آماری فعالیت نورونهای هسته PGi در دوره‌های منکور (DMSO+ACSF) قبل از تزریق دارو و دوره بازگشت به حالت پایه. (student t-test, ** $p < 0.05$, $n = 7$, values are mean \pm SEM)

بررسی عالیم رفتاری در موشهای غیروابسته و وابسته به مورفین بعد از تزریق داخل هسته‌ای رولیپرام ($10\text{-}\mu\text{M}$)

همان طور که در نمودار پنج (A) مشاهده می‌شود $3/3/3/3$ درصد

مقدار $2/7$ اسپایک در ثانیه رسید. اثر دارو از ۳ دقیقه بعد از تزریق دارو شروع شده و به مدت ۱۹ دقیقه ادامه داشت. بعد از گذشت ۲۲ دقیقه از تزریق، دارو به سطح فعالیت قبل از تزریق بازگشت.



نمودار ۴: اثر تزریق داخل هسته‌ای $0.1\text{-}\mu\text{M}$ رولیپرام روی فعالیت پایه نورونهای هسته PGi در موشهای غیروابسته به مورفین. A1: نمودار میانگین PSTH فعالیت نورونهای هسته PGi قبل از تزریق حلال ($10\text{-}\mu\text{M}$ درصد DMSO+ACSF). بعد از تزریق حلال و بعد از تزریق دارو. A2: مقایسه آماری (n=5, values are mean \pm SEM) فعالیت نورونهای هسته PGi در سه دوره منکور PGi قبل از تزریق (B1). نمودار میانگین PSTH فعالیت نورونهای هسته PGi قبل از تزریق حلال ($0.1\text{-}\mu\text{M}$ درصد DMSO+ACSF) بعد از تزریق حلال و بعد از تزریق دارو. B2: مقایسه آماری فعالیت نورونهای هسته PGi در سه دوره منکور (n=7, values are mean \pm SEM)

مقایسه اثر رولیپرام ($10\text{-}\mu\text{M}$) بر مدت زمان پاسخ و درصد تغییر فعالیت نورونهای هسته PGi در موشهای غیروابسته و وابسته به مورفین

با توجه به نمودار چهار مقدار میانگین مدت زمان پاسخ به رولیپرام ($10\text{-}\mu\text{M}$) در گروه غیروابسته به مورفین $5/6 \pm 1/6$ و در گروه وابسته به مورفین $19 \pm 1/7$ دقیقه است که اختلاف معنی داری با هم دارند

بررسی تاثیر تزریق داخل هسته‌ای رولیپرام (۱۰ میکرومول) بر بروز عالیم رفتاری سندروم محرومیت ناشی از تزریق نالوکسان در موشها وابسته به مورفین در گروهی از موشها وابسته به مورفین پس از پایان تزریق داخل هسته‌ای حلال (۰/۰۳ درصد DMSO+ ACSF) عالیم رفتاری سندروم محرومیت ناشی از تزریق نالوکسان تا یک ساعت ثبت شد. در گروه دیگر از موشها وابسته نیز پس از پایان تزریق داخل هسته‌ای رولیپرام (۱۰ میکرومول) عالیم رفتارهای سندروم محرومیت ناشی از تزریق نالوکسان تا یک ساعت ثبت شد. درصد بروز رفتارها در شکل پنج (B) مشاهده می‌شود. همانطور که در نمودار مشاهده می‌شود رولیپرام سبب کاهش درصد بروز رفتارهای ناشی از تزریق نالوکسان در موشها وابسته به مورفین می‌شود.

بحث

در این تحقیق ما از رولیپرام که مهارکننده اختصاصی فسفو دی استراز نوع ۴ است به منظور بررسی وجود تغییر در مسیر cAMP در نورونهای هسته PGi موشها وابسته به مورفین نسبت به موشها غیروابسته به مورفین استفاده کردیم. آزمایشها شامل دو بخش بود: یک بخش مربوط به آزمایش‌های الکتروفیزیولوژیک و بخش دیگر آزمایش‌های رفتاری. تزریق موضعی ۱۰ میکرومول رولیپرام به داخل هسته PGi در موشها غیر وابسته به مورفین سبب افزایش ۱۵/۲ درصدی فعالیت این نورونها به مدت ۵/۶ دقیقه شد.

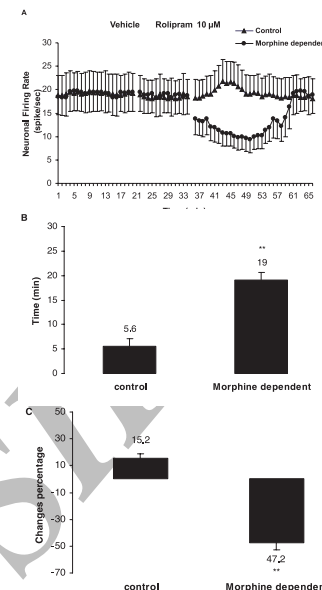
همین دوز در موشها وابسته به مورفین سبب کاهش ۴۷/۲ درصدی به مدت ۱۹ دقیقه شد. در بخش آزمایش‌های رفتاری با توجه به تاثیر معنی‌دار رولیپرام ۱۰ میکرومول بر فعالیت پایه نورونهای هسته PGi از این دوز استفاده گردید.

بعد از تزریق داخل هسته PGi، در تعدادی از موشها غیروابسته به مورفین جویدن و دندان قروچه و در تعدادی از موشها وابسته به مورفین انزال و به خود پیچیدن طی ۶۰ دقیقه اول بعد از تزریق مشاهده شد. در موشها وابسته به مورفین زمانی که رولیپرام (داخل هسته PGi) قبل از نالوکسان (زیر جلدی) به کار برده شده در مقایسه با هنگامی که نالوکسان (زیر جلدی) به تنها یک استفاده می‌شد، کاهش چشمگیری در بروز عالیم رفتاری سندروم محرومیت دیده می‌شد.

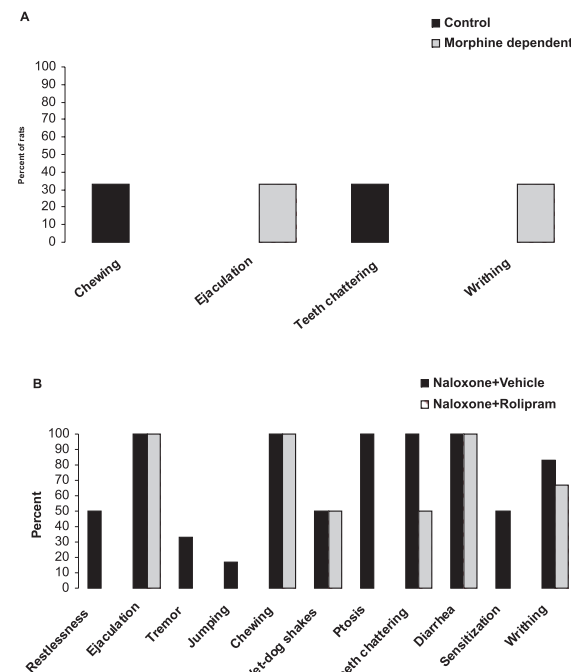
یافته‌های موجود نشان دهنده تفاوت در پاسخ‌دهی نورونهای هسته PGi به رولیپرام در دو گروه موشها وابسته به مورفین نسبت به موشها غیروابسته به مورفین است. با توجه به این که رولیپرام سبب جلوگیری از تجزیه cAMP می‌شود، لذا این احتمال وجود دارد که تغییرات مسیر cAMP در نورونهای هسته PGi موشها وابسته به مورفین ایجاد شده است.

در مطالعاتی که بر روی سلولهای U937 انجام یافته مشخص شده است که ۱۰ میکرومول رولیپرام سبب مهار کامل فعالیت فسفودی استراز نوع ۴ می‌شود و ۰/۱ میکرومول رولیپرام سبب مهار ۵۰ درصدی فعالیت این آنزیم می‌گردد (۲۴). در مطالعات مختلف برای

موشها غیروابسته به مورفین جویدن و دندان قروچه را در ۶۰ دقیقه اول بعد از تزریق نشان دادند. در حالی که ۳۳/۳ درصد گروه وابسته به مورفین به خود پیچیدن و انزال را نشان دادند.



نمودار ۴: میانگین فعالیت پایه نورونهای هسته PGi بعد از تزریق داخل هسته‌ای حلال (۰/۰۳ درصد DMSO+ACSF) و ۱۰ میکرومول رولیپرام (A)، میانگین درصد تغییرات فعالیت (B) نورونهای هسته PGi در دو گروه موشها وابسته و غیروابسته به مورفین به دنبال تزریق رولیپرام (۱۰ میکرومول) (student t-test **p<.005, values are mean ± SEM)



نمودار ۵: درصد مشاهده شده عالیم رفتاری در گروه موشها وابسته به مورفین و غیروابسته به مورفین در طول ۶۰ دقیقه بعد از تزریق رولیپرام (۱۰ میکرومول) داخل هسته PGi. A: تزریق همزمان نالوکسان + حلال (۰/۰۳ درصد DMSO+ ACSF) و نالوکسان + رولیپرام (۱۰ میکرومول) n=۶

حذف فعالیت فسفودی استرازی این آنزیم از دوز ۱۰ میکرومول رولپیرام استفاده کرده‌اند (۲۵، ۲۶).

در سندرم محرومیت مقدار cAMP حتی ممکن است تا بیش از دو برابر مقدار کنترل افزایش یابد. گزارش شده است که برخی مهار کننده‌های غیراختصاصی فسفو دی استراز نظری تشفیلین، کافین و فورسکولین در موشهای غیر وابسته به مورفین سبب گزارش شده از استراز نظری رفتارهای نیز استفاده کنند. فورسکولین در موشهای غیر وابسته به مورفین سبب بروز رفتارهای نیز استفاده کنند. سبب تشدید علائم سندرم محرومیت القایی توسعه نالوکسان شده‌اند (۱۰).

در سلولهای NG-108 (نوعی سلول عصبی در محیط کشت) نشان داده شده که درمان حاد با مورفین و دیگر اپیاتها فعالیت آدنیلیل سیکلاز را مهار کرده و سبب کاهش مقدار cAMP می‌شود. با استفاده مکرر از مورفین در این سلولها فعالیت آدنیلیل سیکلاز و مقدار cAMP به سطح کنترل برگردانده شده است. در زمان سندرم محرومیت افزایش مقدار cAMP به بالاتر از کنترل می‌رسد. فعالیت آدنیلیل سیکلاز در پاسخ به مهار آن توسعه تحریک مزمن گیرنده‌های اپوییدی تنظیم افزایشی پیدا می‌کند. بنابراین مهار موقتی فعالیت آدنیلیل سیکلاز ممکن است در ایجاد وابستگی به مورفین مهم باشد. به دلیل وجود این شواهد فرضیه Nestler cAMP را برای اعتیاد به اپیاتها، وابستگی و سندرم محرومیت پیشنهاد کرد (۱۳، ۲۷).

Takayoshi Mamia و همکاران گزارش نمودند، که مهار موقعی فعالیت آدنیلیل سیکلاز بدرو در معرض قرارگیری به اپیاتها یک مرحله ضروری برای ایجاد وابستگی به آنهاست. زیرا زمانی که از این مهار موقتی توسعه تزریق همزمان و مزمن رولپیرام با اپیاتها، جلوگیری به عمل می‌آید، به طور معنی داری شدت علایم سندرم محرومیت القایی توسعه نالوکسان کاهش می‌یابد. در آزمایش‌های دیگر آنها رولپیرام را به صورت حاد بعد از ایجاد وابستگی و نیم ساعت قبل از تزریق نالوکسان به کار برده و مشاهده کردنده که تزریق حاد آن اثری بر سندرم محرومیت القایی توسعه نالوکسان ندارد. آنها اندازه‌گیری مقدار cAMP را در قشر مغز و تalamوس انجام می‌دادند. با توجه به این مشاهدات پیشنهاد کردنده که رولپیرام می‌تواند یک داروی مفید برای کاهش وابستگی به مورفین باشد (۱۰)، اژدری و همکاران در مطالعات خود نشان دادند که تزریق موضعی فورسکولین (۱۰ میکرومول) به داخل هسته‌ای PGi در موشهای غیر وابسته به مورفین سبب افزایش ۱۷/۲ درصدی فعالیت این نورونها به مدت ۱۰/۶ دقیقه، و در موشهای وابسته به مورفین



References

- Williams JT, Macdonald JC, Manzoni O: Cellular and synaptic adaptations mediating opioid dependence. *Physiol Rev* 2001; 81:299-343
- Terwilliger RZ, Beither-Johnson D, Sevarino KA, Crain SM, Nestler EJ: A general role for adaptation in

G-protein and the cyclic AMP system in mediating the chronic actions of morphine and cocaine on neuronal function. *Brain Res* 1991; 548: 100-110

3. Widnell KL, Self DW, Lane SB, Russell DS: Regulation of CREB expression in vivo: evidence for a

- functional role in morphine action in the nucleus accumbens. *J Pharmacol Exp Ther* 1996; 276: 306–315
4. Toliv B, Berger S: Evidence for involvement of ventral tegmental area cyclic AMP systems in behavioral sensitization to psychostimulants. *J Pharmacol Exp Ther* 1996; 278: 411–420
 5. Jolas T, Nestler EJ, Aghajanian GK: Chronic morphine increases GABA tone on serotonergic neurons of the dorsal raphe nucleus: association with an up-regulation of the cyclic AMP pathway. *Neuroscience* 2000; 95: 433–443
 6. Maldonado R, Valverde O, Garbay C, Roques BP: Protein kinases in the locus coeruleus and periaqueductal gray matter are involved in the expression of opiate withdrawal. *Naunyn-Schmiedebergs Rch Pharmacol* 1995; 352: 565–575
 7. Punch L, Self DW, Nestler EJ, Taylor JR: Opposite modulation of opiate withdrawal behaviors on microinfusion of a protein kinase A inhibitor versus activator into the locus coeruleus or periaqueductal gray. *J Neurosci* 1997; 17: 8520–8527
 8. Duman RS, Tallman JF, Nestler EJ: Acute and chronic opiate-regulation of adenylate cyclase in brain: specific effects in locus coeruleus. *J Pharmacol Exp Ther* 1988; 246: 1033–1039
 9. Lane-Ladd SB, Pineda J, Boundy VA, Pfeuffer T, Krupinski J, Aghajanian GK, Nestler EJ: CREB (cAMP response element-binding protein) in the locus coeruleus: biochemical, physiological, and behavioral evidence for a role in opiate dependence. *J Neurosci* 1997; 17: 177890–17701
 10. Mamiya T, Noda Y, Ren X, Hamdy M, Furukawa S, Kameyama T, Yamada K, Nabeshima T: Involvement of cyclic AMP systems in morphine physical dependence in mice: prevention of development of morphine dependence by rolipram, a phosphodiastase 4 inhibitor. *Brit J Pharmacol* 2001; 132: 1111–1117
 11. Lourenco CM, Houle S, Wilson AA, Dasilva JN: Charactrization of R-[11C]rolipram for PET imaging of phosphodiestrase-4: in vivo binding, metabolism, and dosimetry studies in rats. *Nucl Med Biol* 2001; 28: 347–358
 12. Itoh T, Tokumura M, Abe K: Effects of rolipram, a phosphodiastase 4 inhibitor, in combination with imipramine on depressive behavior, CRE- binding activity and BDNF level in learned helplessness rats. *EJP* 2004; 498(1-3):135-42
 13. Barad M, Bourchouladze R, Winder DG, Golan H, Kandel E: Rolipram, a type IV-specific phosphodistrase inhibitor, facilitates the establishment of long-term potentiation and improve memory. *PNAS* 1998; 95: 15020–25
 14. Saiepour MH, Semnanian S, Fathollahi Y: Occurrence of morphine tolerance and dependence in the nucleus Paragigantocellularis neurons. *Eur J Pharmacol* 2001; 411(1-2): 85–92
 15. Ennis M, Aston-Jones G, Two physiologically distinct populations of neurons in the ventrolateral medulla innervate the locus coeruleus. *Brain Res* 1987; 425(2): 275–282
 16. Akaoka H, Aston-Jones G: Opiate withdrawal-induced hyperactivity of locus coeruleus neurons is substantially mediated by augmented excitatory amino acid input. *J Neurosci* 1991; 11: 3830–3839
 17. Haghparast A, Semnanian S, Fathollahi Y: Morphine tolerance and dependence in the nucleus paragigantocellularis: Single unit recording study in vivo. *Brain Res* 1998; 814: 71–77
 18. Liu N, Rockhold RW, Ho IK: Electrical stimulation of nucleus paragigantocellularis is induces opioid withdrawal-like behaviors in the rat. *Pharmacol Biochem Behav* 1999; 62(2): 263–271
 ۱۹. اژدری زرمههی حسن ، سمنانیان سعید، فتح الهی یعقوب، قادری پاکدل فیروز: باسخدهی نورونهای هسته بارازیگانتوسلولاریس به فورسکولین در موش صحرایی وابسته به مورفین. نشریه پژوهشی یاخته ۱۳۸۳، سال ۶، شماره ۲۴، صفحه ۲۰۱-۱۹۴
 20. Auidor-Reiss T, Neo I, Levy r, Pfeuffers T, Vogel Z: Chronic opioid treatment induces adenylyl cyclase V supersensitization. *J Biological Chem* 1996; 271(35): 21309–21315
 21. Chakrabarti S, Rivera M, Yan SZ, Tang WJ, Gintzler AR: Chronic morphine augments G/Gs stimulation of adenylyl cyclase: relevance to opioid tolerance. *Mol Pharmacol* 1998; 54: 655–662
 22. Paxinos G, Watson C: The rat brain in stereotaxic coordinates. 2nd edition Academic Press 1986; 62–68
 ۲۳. قادری پاکدل فیروز، سمنانیان سعید، فتح الهی یعقوب، پور میرجعفری فیروز آبادی سید محمد: روش جدید برای دریافت و تجزیه و تحلیل فعالیت الکتریکی سلول‌های عصبی. مجله فیزیولوژی و فارماکولوژی ۱۳۸۱، سال ۶، شماره ۱، صفحه ۵-۳۹
 24. MacKenzie SJ, Houslay MD: Action of rolipram on specific PDE4 cAMP phosphodiesterase isoforms and on the phosphorylation of cAMP-response-element-binding protein(CREB) and p38 mitogen-activated protein(MAP)

kinase in U937 monocytic cells. Biochem J 2000; 347: 571-578

25. Alzheimer C, Sutor B, Bruggencate GT: Disinhibition of hippocampal CA3 neurons induced by suppression of an adenosine A1 receptor-mediated inhibitory tonus: pre- and post synaptic components. Neuroscience 1993; 57: 565-575

26. Geoffroy V, Fouque F, Nivet V, Clot JP, Lugnier C,

Desbuquois B, Benelli C: Activation of a cGMP-stimulated cAMP phosphodiesterase by protein kinase C in a liver Golgi-endosomal fraction. Eur J Biochem 1999; 259: 892-900

27. Nguyen PV, Woo NH: Regulation of hippocampal synaptic plasticity by cyclic AMP dependent protein kinases. Prog Neurobiol 2003; 71: 401-437



Archive of SID